

جغرافیا و آمایش شهری - منطقه‌ای، شماره ۲۷، تابستان ۱۳۹۷

وصول مقاله : ۱۳۹۶/۲/۷

تأثید نهایی : ۱۳۹۶/۸/۱۲

صفحات : ۱۹ - ۳۶

ارزیابی تغییرات فضایی دمای سطحی کلان‌شهر مشهد

سمیه دلبسته^۱، دکتر رضا دوستان^۲، دکتر نعمت‌الله کریمی^۳

چکیده

افزایش دمای کلان‌شهرها، بحران شهرنشینی در قرن حاضر است. هدف این تحقیق شناخت تغییرات فضایی دمای سطحی در شهر مشهد است که با باند حرارتی ۱۱ تصویر لندست برای دوره ۲۰۰۹ تا ۲۰۱۳ و نقشه رقومی کاربری اراضی مشخص شد. در این مطالعه برای محاسبه دمای سطحی، از روش الگوریتم پنجرا مجزا استفاده شد. مدل الگوی فضایی دمای سطحی شهر مشهد در طول سال، افزایش دمای سطحی از مرکز به حاشیه شهر در زمان گذر ماهواره است؛ به طوری که مناطق مرکزی و قدیمی شهر (سنناباد، آبکوه، سعدآباد، ملک‌آباد)، دمای سطحی پایین‌تری نسبت به حومه شهر دارند. بالاترین دمای سطحی در حاشیه جنوبی شهر، پیش‌کوه‌های بینالود از غرب تا جنوب شرقی مشهد، راه آهن، فرودگاه، میدان شهدا، حاشیه بزرگراه امام علی و کمر بندی همت، ششصد دستگاه، کارخانه قند و نخریسی و فضاهای باز خالی و فاقد کاربری شهری است. کاربری‌های حمل و نقل شهری، زمین بایر و ارتفاعات در طول سال، حداقل دمای سطحی و حداقل دما، در کاربری تفریحی و توریستی، کشاورزی و باغ‌ها به خصوص در ماه‌های گرم وجود دارد. منطقه ۱۲ شهری، گرم‌ترین و منطقه ۱، خنک‌ترین منطقه شهر مشهد به لحاظ دمای سطحی است. حداقل دمای سطحی مشهد، در ماه‌های تیر و مرداد، و حداقل دما، در آذر بوده و دامنه فضایی دمای سطحی شهر، به ترتیب در ماه آوریل (فروردین) و فصل بهار، بیشترین و در ماه اکتبر (مهر) و پاییز، کمترین است.

کلید واژگان: الگوی فضایی، ماهواره لندست، تغییرات دمای سطح زمین، کاربری اراضی.

۱- دانشجوی کارشناسی ارشد اقلیم‌شناسی شهری دانشگاه فردوسی مشهد، مشهد، ایران

doostan@um.ac.ir

۲-

دانشگاه اقلیم‌شناسی دانشگاه فردوسی مشهد، مشهد، ایران (نویسنده مسؤول)

۳- ایمیل SID.ir

۳- دکتری اقلیم‌شناسی، مؤسسه تحقیقات آب وزارت نیرو

جغرافیا و آمایش شهری- منطقه‌ای، سال هشتم، شماره ۲۷، تابستان ۱۳۹۷

غیرنظمی، انجام شد (امیری و همکاران، ۱۳۸۶: ۱۰۷). در ادامه، از داده‌های ماهواره‌ای با تفکیک مکانی و دقت بالاتر از جمله لندست استفاده شد. چنانکه با استفاده از تصاویر سنجنده «ای.تی.ام»^۱ لندست و مادیس در اراضی پایین‌دست شبکه آبیاری دشت قزوین با حذف پیکره‌های آبی از تصاویر ماهواره‌ای، رابطه معکوس بین شاخص پوشش گیاهی^۲ و دمای سطح در هر دو سنجنده مشاهده شد (کاویانی و همکاران، ۱۳۹۲: ۱۴). همچنین برای تعیین دمای سطحی در تهران و قزوین از ۱۱۴ تصویر متعلق به دو سنجنده «ای.وی.اچ.آر»^۳ و مادیس و انتخاب ۱۶ تصویر برای محاسبه نهایی دما، از الگوریتم «کی.بین»^۴ استفاده شد. بالابودن ضرایب همبستگی از قابل اطمینان‌بودن الگوریتم در برآورد دمای سطح زمین به خصوص با سنجنده «ای.وی.اچ.آر» حکایت دارد. چنانکه تفاوت بین برآورد دمای سنجنده «ای.وی.اچ.آر» و دمای ایستگاه ۳/۱ درجه سانتی‌گراد و سنجنده مادیس ۶/۷ درجه سانتی‌گراد است (حجازی‌زاده و همکاران، ۱۳۹۲: ۳۳). از طرفی افزایش دما بر اثر گسترش جزیره حرارتی در شهر تهران، در مقایسه با نقشه حرارتی، کاربری و پوشش اراضی مناطق مختلف، نشان از رابطه مستقیم جزایر حرارتی و تراکم ساخت و ساز، مناطق بایر گستردگی و رابطه معکوس با پوشش گیاهی دارد (ساسان‌پور و همکاران، ۱۳۹۲: ۲۵۶). این جزایر حرارتی در تهران با استفاده از تصاویر سنجنده «ای.تی.ام»^۵ لندست، حاکی از بیشینه دمای سطحی در پهنه‌های مترکم شهری و ارتباط پایین بین دمای سطحی و پوشش گیاهی در پهنه کوهستانی است. به طور کلی شیب توزیع دما در شهر تهران از شمال شرق به جنوب غرب کاهش یافته و حداکثر دمای سطحی در پهنه کوهستانی شرق (بی‌بی شهریانو) و منطقه صنعتی غرب است (هاشمی و همکاران، ۱۳۹۲: ۸۱). همچنین ساختار فضایی-زمانی جزیره حرارتی شهر

مقدمه

امروزه بیش از ۴۵ درصد از جمعیت جهان در شهرها زندگی می‌کنند و تا سال ۲۰۳۰ این نرخ جمعیت به بیش از ۶۰ درصد می‌رسد (عبداللهی و همکاران، ۱۳۸۷: ۸۵). افزایش جمعیت و تغییر کاربری در کلان شهرها موجب افزایش دمای سطحی شهرها نسبت به حومه و تشکیل جزایر حرارتی شهر می‌شود. با افزایش دما و شکل گیری جزایر حرارتی، سرانه مصرف انرژی و ناهنجاری اقلیمی در شهرها افزایش داشته و این امر سبب تغییر در اقلیم شهرها و در مقیاس وسیع‌تر، اقلیم کره زمین می‌شود. دمای سطحی زمین به طور مستقیم از نوع پوشش زمین تأثیر می‌پذیرد و باعث تغییر در شرایط اقلیمی و زیست‌محیطی شهرها می‌شود. این افزایش دما، خسارت اقتصادی-اجتماعی، کاهش سلامت، بیماری‌های قلبی-تنفسی و مرگ و میر انسان، افزایش توفان و کاهش کیفیت هوا در مناطق شهری را موجب می‌شود (ونگ و یوئن، ۱۳۹۲؛ ازین رو مطالعه و شناخت تغییرات فضایی و زمانی جزایر حرارتی برای مدیریت و برنامه‌ریزی شهر ضروری است؛ چرا که شناسایی و کشف عوامل تأثیرگذار بر افزایش دمای شهر در کاربری‌های مختلف، پوشش اراضی و غیره، به مدیران و برنامه‌ریزان شهری برای توسعه و عمران شهرها درجهت رفاه و رضایت شهروندان کمک می‌کند. مطالعه دمای سطحی شهرها (جزیره حرارتی شهری) در گذشته، بیشتر با داده دمای هوای ایستگاه هواشناسی یا پیمایش به کمک وسایط نقلیه انجام می‌شد. امروزه ماهواره‌ها و سنجنده‌های مختلف، قادر به ثبت دمای سطح زمین بوده و جایگزین مناسبی برای روش‌های سنتی می‌باشند؛ چراکه اصولاً داده‌های سنجش از دور، از قدرت تفکیک مکانی بالاتر و دسترسی آسان به داده‌ها و اطلاعات و نبود دخالت انسان، از ویژگی‌های منحصر به‌فرد این تکنیک است. شروع مطالعه جزایر حرارتی شهر^۶ با سنجش از دور با بهره‌گیری از داده‌های ماهواره‌ای پرتاب شده در دهه ۱۹۷۰، حامل اولین سنجنده‌های مادون قرمز حرارتی

1- Enhanced thematic mapper(ETM)

2-Normalized difference vegetation index(NDVI)

3-Advanced very high resolution radiometer(AVHRR)

4-Qin,Z(2001)

به دلیل واقع شدن کارخانجات عظیم فولاد، لوله سازی، شرکت های کربن بلاک و لوله سازی شرکت ملی نفت، بالاترین دمای سطحی با ۴۳/۲ درجه سانتی گراد و منطقه ۵ شهرداری اهواز با بیشترین فضای سبز در بین مناطق ۸ گانه، پایین ترین دما با ۳۵/۹ درجه را دارد (معروف نژاد، ۱۳۹۰: ۶۵). اثر کاربری بر افزایش دمای شهر و تشکیل جزایر حرارتی در تهران، با روش طبقه بندی پوشش اراضی شهری و شناخت تغییر ویژگی بیوفیزیکی پیکسل و استخراج کسر خاک، پوشش گیاهی و سطوح نفوذناپذیر با تصاویر «ای.تی.ام» نشان داد، اثر گرمایشی سطوح نفوذناپذیر از طریق جذب و ذخیره انرژی خورشیدی، بالا بوده و پوشش گیاهی از طریق ایجاد توازن گرمایی با تبخیر و تعرق و تولید سایه، اثر خنک کننده دارند (شکیبا و همکاران، ۱۳۸۸: ۳۹). میانگین وزنی دما برای سطوح فیزیکی از جمله، شن زار، دشت سر، دشت رسی، تاغ زار، تأسیسات شهری، سطوح آسفالت و پوشش گیاهی نشان داد که اراضی بایر، به خصوص نواحی شن زار بیشترین دما و اراضی کشاورزی و باغی به سبب رطوبت موجود در خاک و پوشش گیاهی دارای کمترین دمای سطحی می باشند (دشتکیان و ده قانی، ۱۳۸۶: ۱۶۹).

همچنین رابطه بین الگوی توزیع و تغییرات دما با کاربری زمین در منطقه شهری در حال رشد تبریز با تصاویر چند زمانه لندست ۴، ۵ و ۷ سنجنده «ای.تی.ام» و «ای.تی.ام» در سال های ۱۹۸۹، ۱۹۹۸ و ۲۰۰۱ تعیین شد و ارتباط قوی میان نوع کاربری با دمای سطحی و رابطه شاخص پوشش گیاهی و حرارت سطح زمین شناسایی و با استفاده از تحلیل همبستگی و رگرسیون چند متغیره نقش مؤثر پوشش گیاهی در تعديل دمای سطحی مشخص شد (امیری و همکاران، ۱۳۸۶: ۱۰۷).

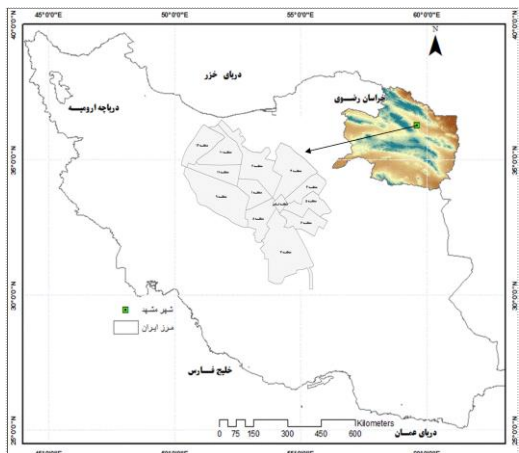
در دیگر کلان شهرهای جهان نیز افزایش دمای شهرها بررسی شد. در «شانگهای»، تغییر کاربری و پوشش گیاهی با تغییر جمعیت بررسی و اثر آن بر جزیره حرارتی با تصاویر لندست سنجنده «ای.تی.ام» و «ای.تی.ام» در سال ۱۹۹۷ و ۲۰۰۸ و داده جمعیتی تعیین و نشان داد، با رشد شهر و کاهش بستر آبی،

ارزیابی تغییرات فضایی دمای سطحی کلان شهر مشهد

تهران بین سال های ۱۹۸۶ تا ۲۰۱۰ با تصاویر چند زمانه «تی.ام» و دمای سطح زمین با استفاده از الگوریتم تک باندی «کین» و با روش آمار کلاسیک، تغییرات فضایی و زمانی دمای سطحی تهران مشخص شد. نتایج کاهش محدوده دمای متوسط و بسیار خنک شهری و بر عکس افزایش در محدوده با دمای بسیار بالا را نشان داد. تغییرات زمانی شدت جزیره حرارتی تهران از ۱۱ درصد در سال ۱۹۸۶ به ۱۵ درصد در سال ۲۰۱۰ و کانون اصلی بر روی فرودگاه مهرآباد و در پیرامون این کانون در سمت غرب و جنوب غرب فرودگاه با خوشه های داغ جدید و گسترش جزیره حرارتی در بخش های با کاهش شدید پوشش گیاهی و افزایش گسترش کاربری های صنعتی - کارگاهی و انبارداری مشهود است (صادقی نیا و همکاران، ۱۳۹۱: ۱). در دیگر کلان شهرهای ایران نیز دمای سطحی با استفاده از داده های ماهواره ای بررسی شد، چنانکه الگوی حرارتی شهر شیراز با تصاویر ماهواره سنجنده «ای.تی.ام» و «تی.ام» ماهواره لندست و نقشه کاربری در بازه زمانی ۲۴ ساله تعیین شد. نتایج نشان داد، سطوح بایر خاکی فاقد پوشش گیاهی حاشیه شهر، بیشترین میزان دمای سطحی که در کاربری های شهری با بافت فشرده و فرسوده شهر بیش از مناطق دیگر است. بیشینه دمایی با مناطق آلوده و پر ترافیک شهری انطباق داشته و سرديگران مناطق نیز با کاربری پوشش گیاهی است (احمدی و همکاران، ۱۳۹۱: ۵۵). در اصفهان نیز به منظور بررسی تغییر کاربری و دمای سطحی از تصاویر سنجنده «تی.ام» ماهواره لندست با اختلاف زمانی ۲۲ ساله استفاده شد، کمترین دمای سطحی در این شهر مربوط به اراضی دارای پوشش گیاهی برای سال های ۱۹۸۷ و ۲۰۰۹ به ترتیب ۳۰۱ و ۳۰۷ درجه کلوین و بیشترین دما در مناطق بایر و فاقد پوشش گیاهی به ترتیب ۳۰۸ و ۳۱۷ درجه کلوین است. در سال های اخیر نیز با رشد شهر، محدوده های جزیره حرارتی گسترش دارد (مشتاق و همکاران، ۱۳۹۰). همچنین در شهر اهواز با تصاویر ماهواره ای، میان ساله ای تعیین و حاکی است، منطقه ۸ شهرداری

دارد. همچنین کاهش تراکم در کاربری پوشش گیاهی، افزایش دمای سطحی از ۲۸/۷ درجه سانتی گراد در ۱۹۸۴ به ۳۳ درجه سانتی گراد در ۲۰۱۱ را نشان می‌دهد (Omran, 2012: 189). در ادامه جزایر حرارتی با باندهای ۱-۵ و ۷ تصاویر لندست سنجنده «ای.تی.ام» در سال ۲۰۰۱ و شاخص پوشش گیاهی، دمای سطحی زمین مطالعه و با تفکیک کاربری به پنج طبقه (مسکونی، زمین قاقد پوشش گیاهی، بستر آبی، زمین کشاورزی و پوشش گیاهی) در شهر «ویجاپاوادا» در ایالت «کریشنای هند» نشان داد، بیشترین دما در نواحی مسکونی و کمترین دما در نواحی دارای پوشش گیاهی است (Sundara Kumar et al, 2012: 771). رابطه بین انواع کاربری و دمای سطحی زمین در تهران با استفاده از داده‌های ماهواره‌ای نشان داد، زمین‌های مربوط به انباشت زباله، زمین‌های بایر و لخت از میانگین دمای بسیار بالا و دمای بالا دربخش مرکزی با کاربری مسکونی و کمترین دما مربوط به نواحی با تراکم مسکونی پایین و نواحی با پوشش گیاهی، زمین Malekpour & Taleai, 2011: 10). ویژگی روزانه و فصلی جزیره حرارتی شهر مرتبط با پوشش زمین در ناحیه شهری «فونیکس» در «آریزونای آمریکا» بررسی شد. نتایج حاکی است، هسته شهر بهخصوص در شب گرم‌تر از سایر مناطق بوده، ولی هیچ روند تداومی در امتداد شبی شهرنشینی وجود ندارد. در اغلب الگوهای حرارتی، دمای داخل شهر تفاوت بزرگی با حومه داشته و تجزیه و تحلیل رگرسیونی نقش مهم پوشش گیاهی را در طول روز و پیاده‌روها را در طول شب در توزیع تنوع فضایی- زمانی دمای سطحی تأیید می‌کند (Buyantuyev and Wu, 2010: 17). با تجزیه دو تصویر ماهواره‌ای در سال‌های ۱۹۹۱ و ۲۰۰۰ در شهر «چنای»^۴ هند مشخص شد، نتیجه تبدیل اراضی طبیعی به مسکونی و کاهش پوشش گیاهی، افزایش دمای سطحی است. چنانکه افزایش ساخت‌وساز شهری

پوشش گیاهی و جایگزینی با ساخت‌وساز شهری، تنوع قابل توجهی در الگوی زمانی جزیره حرارتی رخ داده و محدوده و میزان جزیره حرارتی با توسعه و گسترش شهر به خصوص در مناطق حومه و خارج از شهر گسترش دارد (Zhang et al, 2013: 121). در جنوب کنیا، مطالعه تغییر دمای سطحی در سال‌های ۱۹۸۵، ۱۹۹۵، ۲۰۰۳ حاکی از بیشینه تغییرات دمای سطحی بین سال‌های ۱۹۸۵ و ۱۹۹۵ است، که این مرتبط با تغییر کاربری پوشش گیاهی به زمین بایر بوده است. همچنین تغییرات دما بین سال‌های ۱۹۹۵ و ۲۰۰۳ حاکی از کاهش دمای سطحی و تغییرات دمای سطحی سال‌های ۲۰۰۳ و ۲۰۱۰، افزایش دما در کل منطقه را نشان داد (Ndutu et al, 2011). تغییر کاربری اراضی و پوشش گیاهی بر روی الگو سطحی جزیره حرارتی با استفاده از تصاویر لندست سنجنده «تی.ام» و «ای.تی.ام» در سال ۱۹۹۷ و ۲۰۰۸ در شهر شانگهای بررسی و نشان داد، تغییرات در کاربری زمین و پوشش گیاهی با کاهش زمین کشاورزی، جنگل، درختچه‌زار و گسترش کاربری شهری مرتبط بوده و این تغییر در ویژگی‌های سطحی زمین، الگوی زمانی جزیره حرارتی شهر را تغییر داده است. به طور متوسط جزیره حرارتی بین مرکز شهر، مناطق حاشیه و نواحی روستایی در طول دوره تابستان به حداقل، در بهار متوسط، زمستان ضعیف و در پاییز، تفاوت دمای شهر و حومه نسبت به حومه اندک و خفیف است. الگوی شبی دمای سطحی زمین از مرکز شهر به نواحی روستایی اطراف می‌باشد (Li et al, 2012: 127). در شهر اسماعیلیه مصر، رابطه بین دمای سطح زمین، کاربری اراضی و پوشش گیاهی^۱ با تصاویر لندست از ۱۹۸۴ تا ۲۰۱۱ بررسی و نشان از تغییر کاربری زمین در منطقه مطالعه و توسعه سریع مناطق در طی ۲۷ سال دارد؛ بنابراین دما از ۳۷/۷ درجه سانتی گراد در سال ۱۹۸۴ به ۴۳/۹ درجه سانتی گراد در سال ۲۰۱۱ افزایش داشته و زمین بایر از ۳۷/۳ درجه سانتی گراد در سال ۱۹۸۴ به ۴۲/۸ درجه سانتی گراد در ۲۰۱۱ افزایش



شكل ۱. موقعیت جغرافیایی و مناطق شهری مشهد

(منبع: نویسندهان، ۱۳۹۵)

برای شناسایی تغییرات زمانی و مکانی دمای سطحی شهر مشهد (جزایر حرارتی سطحی) و نقش کاربری ها مختلف در ارتباط با این جزایر در سطح شهر مشهد مراحل زیر انجام شد.

به منظور تعیین چگونگی توزیع دمای سطحی در طول سال از روش الگوریتم پنجره مجزا (جویباری مقدم و همکاران، ۱۳۹۵) استفاده شد؛ بنابراین داده های روزانه باند حرارتی (باند ۶) تصاویر ماهواره لندست ۵، سنجنده «تی.ام» و باند حرارتی (باند ۱۰) ماهواره لندست ۸، سنجنده الی- تیرز استفاده شد. این داده های حرارتی به ترتیب شامل سنسور حرارتی مادون قرمز و سنسور عملیاتی تصویرساز سطح زمین الی- تیرز^۱ و تصاویر حرارتی سنجنده «تی.ام» شهر مشهد می باشند. تصاویر مربوط به حوزه شهر مشهد با شماره ردیف و گذر ۱۵۹-۳۵ از سیستم مرجع جهانی^۲ ساعت گذر ماهواره لندست ۲۰:۳۰ گرینویچ، معادل با ۱۰:۳۰ صبح محلی شهر مشهد است. تصاویر حرارتی برای تهییه نقشه حرارتی شهر مشهد در ۱۱ ماه سال در طی سال های ۲۰۰۹ تا ۲۰۱۳ از سایت زمین شناسی آمریکا^۳ دریافت شد (لازم به ذکر است که به دلیل نبود تصویر بدون پوشش ابر و برف در ماه ژانویه در طی دوره آماری ذکر شده از اطلاعات دمایی مربوط به این

و جایگزینی خاک طبیعی و پوشش گیاهی به جاده ها و ساختمان ها، فاکتور مهم افزایش گرمای شهری باشد (Lilly Rose et al,2009). مشابه همه مناطق دیگر کره زمین، امروزه در ایران نیز با رشد جمعیت و افزایش شهرنشینی، میکرو اقلیم های شهری ظهور کرده که بر محیط شهر و پیرامون خود تأثیرگذار بوده و تغییرات محیط زیستی و آب و هوایی و غیره را موجب می شوند؛ بنابراین تغییرات زمانی و مکانی دمای سطحی کلان شهر مشهد به عنوان دومین شهر پرجمعیت ایران، در ارتباط با کاربری های مختلف، به منظور برنامه ریزی و مدیریت صحیح محیط شهری و شناخت میکرو اقلیم شهر ضروری است. هدف این مطالعه، تعیین الگوی تغییرات فضایی دمای سطح زمین در ماه های مختلف سال است.

داده و روش تحقیق: شهر مشهد در موقعیت جغرافیایی با عرض "۴۵° ۱۷' ۴۵" شمالی و طول "۳۶° ۵۹' ۳۶" شرقی واقع شده است. شکل ۱ موقعیت شهر مشهد را نشان می دهد. آب و هوای این شهر با میانگین بارش و دمای سالانه (به ترتیب ۲۵۷/۵ میلی متر و ۱۴/۱ درجه سلسیوس) در طبقه بندی اقلیمی دومارتن، جزء گروه اقلیمی نیمه خشک است. همچنین براساس اطلاعات آماری سرشماری نفووس و مسکن ۱۳۹۰ (مرکز آمار ایران، ۱۳۹۰) مشهد به عنوان دومین کلان شهر ایران دارای جمعیتی بالغ بر ۲۴۱۰۸۰۰ نفر است (موسوی بایگی و همکاران، ۱۳۹۱). شهر مشهد دارای ۱۲ منطقه شهری که با جهت شمال غربی- جنوب شرقی در درجه وسیع کشف رود بین «ارتفاعات بینالود» در جنوب و «هزار مسجد» در شمال قرار دارد. این شهر که با تکیه بر ارتفاعات جنوبی در گذشته با نام «سناباد»، دارای آب و هوای مناسب و باغ های زیادی است. امروزه به دلیل ساخت و ساز های متعدد و تغییر کاربری اراضی به دنبال افزایش جمعیت، کاهش چشم انداز طبیعی در سطح شهر و تفاوت دمایی در منطقه شهری و حومه شده است.

1- Operational Land Imager -Thermal Infrared Sensor (OLI-TIRS)

2- Worldwide Reference System(WRS)

3-The United States Geological Survey(USGS)

جغرافیا و آمیش شهری- منطقه‌ای، سال هشتم، شماره ۲۷، تابستان ۱۳۹۷

برای تهیه تصاویر حرارتی مورد نیاز به درجه سانتی گراد و نقشه حرارتی مراحل زیر انجام شد.

الف: محاسبه دمای سطح زمین: برای تهیه تصویر حرارتی با روش پیکسل به پیکسل (تصاویر لندست ۸) مراحل زیر به ترتیب انجام شده است. رابطه شماره ۱: برای تبدیل مقادیر عدد رقومی به رادیانس طیفی از فرمول زیر استفاده شد. فرمول (۱).

$$L_{\lambda=M_L Q_{cal}+A_L}$$

$L_{\lambda} = M_L \cdot (W/M^2 s r \mu m u)$ = درخشندگی طیف ضریب اصلاحی رادیانس هر باند (جهت ضرب کردن در مقادیر عددی هر پیکسل تصویر ماهواره ای که از فراداده تصاویر قابل استخراج است). Q_{cal} = مقدار عددی هر پیکسل (بر حسب قدرت تفکیک رادیومتری سنجنده). A_L = ضریب اصلاحی رادیانس هر باند (جهت جمع کردن در مقادیر عددی هر پیکسل تصویر ماهواره ای که از فراداده تصاویر قابل استخراج است).

ب: رابطه شماره ۲: در این مرحله برای تیدیل رادیانس طیفی به دمای سطحی بر حسب کلوین از رابطه پلانک استفاده شد. فرمول (۲).

$$T = \frac{K_2}{\ln(\frac{K_1}{L_{\lambda}} + 1)}$$

K_1, K_2 = ثوابت معادله هستند مقادیر آن به ترتیب برابر با 1282.71 و 666.09 می باشند که واحد K_2 درجه کلوین و واحد K_1 وحدت $(W/m^2 sr \mu m)$ می باشد.

L_{λ} = درخشندگی طیفی ($W/m^2 sr \mu m$)

پ: رابطه شماره ۳: در مرحله پایانی برای تبدیل و تغییر واحد داده‌ها از درجه کلوین به سانتی گراد از رابطه زیر استفاده شد. فرمول (۳).

$$(C = K - 273.15)$$

محاسبه دمای سطحی ماهواره لندست ۵: برای تبدیل عدد رقومی به رادیانس طیفی از رابطه زیر مقادیر

ماه صرف نظر شد. همچنین به دلیل گذر ۱۶ روزه ماهواره از شهر مشهد و موجود نبودن همه تصاویر در منبع دریافت ذکر شده، امکان تهیه تصاویر در یک روز خاص در همه ماه ها و سال ها وجود نداشت. اطلاعات مربوط به تصاویر در جدول شماره ۱ مشخص شد.

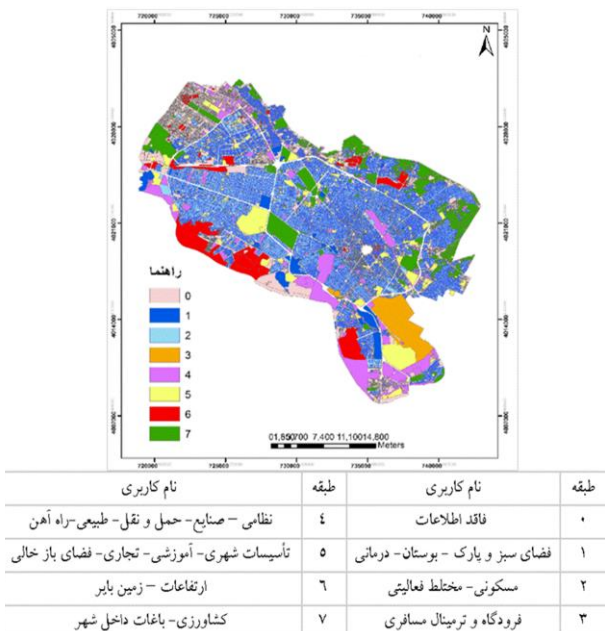
جدول ۱. اطلاعات تصاویر ماهواره‌ای مورد مطالعه

سال	فصل	ماه	روز	منبع
۲۰۰۹	زمستان	۲	۲۲	
۲۰۰۹	زمستان	۳	۱۰	
۲۰۱۱	بهار	۴	۱۷	
۲۰۰۹	بهار	۵	۲۹	
۲۰۰۹	بهار	۶	۱۴	
۲۰۰۹	پاییز	۱۱	۵	
۲۰۱۰	پاییز	۱۲	۱۰	
۲۰۱۳	تابستان	۷	۲۷	سینه
۲۰۱۳	تابستان	۸	۲۸	سینه
۲۰۱۳	تابستان	۹	۲۹	سینه
۲۰۱۳	پاییز	۱۰	۳۱	سینه

(منبع: نویسندهان، ۱۳۹۵)

برای تهیه نقشه حرارتی از باند ۶ تصاویر لندست ۵ و باند ۱۰ تصاویر لندست ۸، مقادیر اعداد رقومی ^۱ آن به درجه سانتی گراد تبدیل شد. سپس با فراخوانی این تصاویر و طبقه بندی آن به درجات مختلف دمایی، پراکندگی دما در سطح شهر مشهد در هفت طبقه دمایی تعیین شد؛ بنابراین تصاویر حرارتی ماهانه، توزیع فضایی دمای سطحی شهر را نشان می دهد. در ادامه با استفاده از این تصاویر نقشه های توزیع متوسط فصلی تهیه شد. چنانکه مثلاً نقشه توزیع متوسط دمای سطحی فصل بهار، میانگین دمای ماه آوریل، مه و ژوئن است. در ادامه به منظور تعیین توزیع نهایی دمای سطحی شهر مشهد، همه نقشه های ماهانه با همدیگر تلفیق و توزیع متوسط سالانه دمای سطحی تهیه شد. همچنین در مقیاس ماهانه و فصلی، ویژگی های اولیه آماری شامل حداقل، حداکثر، متوسط و دامنه تغییرات در هر ماه و فصل شناسایی و جداول و نمودار تغییرات ویژگی های دمای سطحی در طول سال مشخص شد.

نقشهٔ دمایی سطح زمین و کاربری‌های مختلف در شهر مشخص شد هر کدام از کاربری‌ها چگونه موجب تغییرات دمای سطحی شهر مشهد می‌شوند. با توجه به اینکه تصاویر در سال‌های مختلف تهیه شد، تغییرات زمانی و مکانی گسترش محدوده‌های دمایی در مقیاس فصلی و ماهانه مشخص و نقش کاربری‌های مختلف در این افزایش دمای شهر تعیین شد.



شکل ۲. کاربری‌های مختلف شهر مشهد

(منبع: نویسندهان، ۱۳۹۵)

یافته‌های تحقیق

پراکندگی دمای سطحی شهر در ماه‌های مختلف سال نشان داد (جدول ۲ و شکل ۲ و ۴)، در ماه آوریل (فروردین) (شکل ۲، a) دمای سطحی کل شهر بین ۱۵-۳۲ درجه سانتی‌گراد بوده و دامنه دما در این ماه ۲۸ درجه سانتی‌گراد است. شهر مشهد در این ماه، بیشترین دامنه دما در طول سال را تجربه می‌کند. چنانکه بیشتر نواحی داخلی شهر دمای سطحی بین ۱۵-۳۲ درجه و حاشیه شهر به خصوص قسمت‌های غربی، جنوب‌غرب و جنوب شهر دمای ۴۳-۳۲ درجه سانتی‌گراد دارند. در فروردین، بخش‌هایی از زمین‌های کشاورزی و باغات (ملک آباد و آستان قدس) با توجه به گونه‌های گیاهی و سبزینه کمتر، دمای بالاتر از ۳۲ را

ارزیابی تغییرات فضایی دمای سطحی کلان‌شهر مشهد را دیانس به دمای تشعشی بر حسب کلوین تبدیل شد. رابطه شماره ۴: فرمول (۴).

$$T = \frac{1440 \times 10^{-5}}{\lambda \times \ln(\frac{1.19268 \times 10^{-16}}{L \times \lambda^5} + 1)}$$

$$T = \frac{1440 \times 10^{-5}}{(11.43 \times 10^{-6}) \times \ln(\frac{1.19268 \times 10^{-16}}{(float(b6) \times 10^6) \times (11.43 \times 10^{-6})})} + 1$$

L = لگاریتم طبیعی است. L = رادیانس طیفی واحد آن وات بر مترمربع بر میکرومتر. λ = طول موج بر حسب میکرومتر.

در ادامه به منظور تعیین نقش انواع کاربری‌ها در دمای سطحی شهر مشهد، نقشهٔ رقومی کاربری اراضی مربوط به نیمة دوم دهه ۱۳۸۰ (۲۰۰۲) از شهرداری مشهد تهیه شد (لازم به ذکر است، نقشهٔ کاربری قبل از این دهه موجود نبود). پس از آماده سازی تصاویر حرارتی برای گرفتن خروجی مربوط به میانگین حداکثر و حداقل دما، برای ۱۹ طبقهٔ کاربری موجود، لایهٔ رستری و نقشهٔ رقومی، با هم تلفیق شد؛ اما به دلیل نزدیکی بسیار زیاد دمای کاربری‌ها، برای ایجاد یک الگوی جدید از طبقات کاربری‌ها از روش آماری تحلیل مؤلفه اصلی برای طبقهٔ بندی استفاده شد. در نهایت با داشتن ۷ طبقهٔ جدید (هر طبقه در برگیرندهٔ تعدادی از کاربری‌هاست که به لحاظ ویژگی‌های آماری دما به هم نزدیک اند) و داشتن اطلاعات مربوط به میانگین و حداقل و حداکثر دما مربوط به هر طبقه، کار تحلیل داده‌ها انجام شد. همچنین برای به دست آوردن دمای مربوط به مناطق ۱۳ گانهٔ مشهد نیز ابتدا میانگین فصلی تصاویر، سپس با داشتن تصاویر میانگین و لایهٔ شبیه، فایل مربوط به مناطق ۱۳ گانهٔ مشهد، استخراج دما انجام شد. نتیجه به صورت نقشه، نمودار و جدول تهیه شد. نقشه‌های رقومی برای به دست آوردن دمای مربوط به کاربری‌ها و مناطق مختلف شهر در این پژوهش مورد استفاده قرار گرفتند. برای به دست آوردن دمای سطحی مربوط به کاربری‌ها و مناطق، نقشه‌های رقومی به همراه تصاویر حرارتی که دمای سطح زمین جا به جا استفاده شد؛ بنابراین با روی هم قرار گیری

سطحی از مه به ژوئن در ماهای دیگر سال اتفاق نمی‌افتد و این به معنی تغییر سریع فصل بهار به تابستان است. درواقع در این ماه نسبت به دو ماه گذشته، یک افزایش ناگهانی ۸ درجه‌ای در دمای حداقلی مشاهده شد. در این ماه عمدۀ نواحی داخلی شهر دمای سطحی ۳۸-۲۴ درجه سانتی‌گراد داشته، که نسبت به ماه مه افزایش ۴-۳ درجه‌ای را نشان می‌دهند. هرچند در محدوده‌های با پوشش گیاهی در سطح شهر کاهش دمای ۳-۲ درجه مشهود است، که به دلیل افزایش سبزینه و حجم توده گیاهی سبز است. حداکثر دمای سطحی در این ماه، همانند ماه‌های قبل در حواشی شهر، بخش‌های حاشیه جنوبی تا شرق و شمال شرقی شهر که دمای ۴۸-۴۰ درجه‌ای را تجربه می‌کنند. در داخل شهر نیز محدوده بزرگراه امام علی و زمین‌های بایر آستان قدس در اول بزرگراه، راه آهن، باغ آستان قدس در غرب بولوار جانباز، محدوده بزرگراه همت در شرق شهر، محدوده ابتدای بولوار مجلسی و بعثت، فرودگاه، شهرداری منطقه ۸، کارخانه نخریسی در منطقه ۷ بالاترین دمای سطحی (۴۸-۴۲ درجه) را دارند. پایین ترین ترین دمای سطحی در این ماه در باغات و بوستان‌های داخل شهر با دمای ۲۴ درجه سانتی‌گراد است. در ماه ژوئیه (شکل ۵،۴)، دمای سطحی در کل شهر بین ۵۰-۳۲ درجه سانتی‌گراد بوده، چنانکه مشابه ماه قبل (ژوئن) حداقل دما افزایش ۸ درجه‌ای داشته، اما حداکثر دما ۲ درجه سانتی‌گراد افزایش نشان می‌دهد. همچنین دامنه و متوسط دما به ترتیب ۱۸ و ۴۱ درجه سانتی‌گراد است، که نسبت به ماه قبل به ترتیب ۶ و ۵ درجه سانتی‌گراد تفاوت داشته و دامنه دما کاهش دارد. این شرایط نشان می‌دهد، تفاوت‌های دمایی در شهر کمتر شده و کل شهر دماهای سطحی بالا را تجربه می‌کند. نواحی داخلی شهر در این ماه، دمای سطحی ۴۳-۳۲ درجه سانتی‌گراد و باغات، بوستان‌ها و محدوده با پوشش گیاهی دمای ۳۸-۳۲ درجه دارند، که خنک ترین کاربری‌ها در داخل شهر می‌باشند. همچنین حاشیه شهر در جنوب منطقه ۷، ۸ و کل منطقه ۱۲، فرودگاه، ترمینال مسافربری،

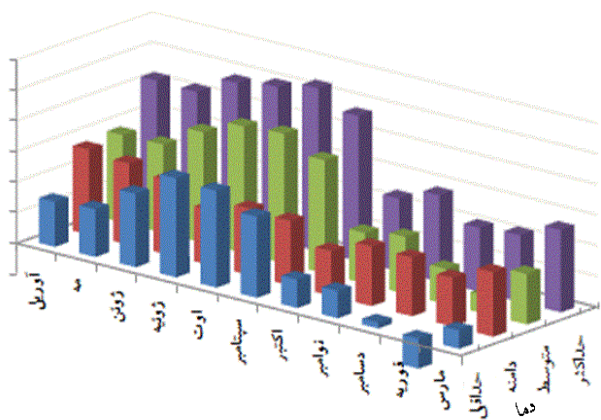
نشان می‌دهند، که با توجه به آغاز فصل رویش درختان و گیاهان، این مسئله طبیعی است. در داخل شهر کاربری‌هایی همچون فرودگاه-ترمینال، راه آهن، اطراف بولوار امام علی بیشترین دمای سطحی را تجربه می‌کنند. در ادامه در ماه مه (اردیبهشت) (شکل ۶،۴) دمای سطحی شهر بین ۴۱-۱۶ درجه سانتی‌گراد بوده و دامنه دمایی ۲۷ درجه سانتی‌گراد است، که بعد از ماه آوریل رتبه دوم بالاترین دامنه دمایی را دارد. همچنین متوسط دمای شهر در این ماه مشابه آوریل، ۲۹ درجه سانتی‌گراد است. در این ماه به لحاظ ویژگی‌های دمایی، تفاوت محسوسی با ماه آوریل نداشته؛ اما از لحاظ پراکندگی فضایی، دما تغییر زیادی دارد. چنانکه بخش عمدۀ داخل شهر در این ماه دمای بین ۳۴-۳۱ درجه سانتی‌گراد را تجربه کرده و بیشینه دمای حداکثر در مناطق شمال غربی و جنوب شرقی شهر مشهود است؛ بنابراین در این ماه، فرودگاه، جنوب منطقه ۸، منطقه ۱۲، راه آهن، منطقه ثامن، منطقه ۱۰ و محدوده‌های حاشیه شهر به جز زمین‌های کشاورزی و فضاهای سبز، دمای بالای ۳۴ درجه سانتی‌گراد را تجربه می‌کنند. در این ماه بر عکس ماه قبل با افزایش سبزینه گیاهی در باغات و مزارع، این محدوده‌ها کمترین دمای سطحی، بین ۱۶-۳۰ درجه سانتی‌گراد را دارند. باغات و فضاهای سبز نسبت به ماه آوریل ۱۳ درجه کاهش دما داشته، در حالی که دمای عمدۀ مناطق داخل شهر نسبت به آوریل ۲ تا ۳ درجه افزایش دارد، که با توجه به روند گرم شدن هوا این امر عادی است. دمای سطحی شهر در ماه ژوئن (شکل ۶،۴) افزایش چشمگیری داشته است. در این ماه دما بین ۴۸-۲۴ درجه سانتی‌گراد و به ترتیب حداقل و حداکثر دما نسبت به ماه قبل ۸ و ۷ درجه سانتی‌گراد افزایش نشان می‌دهد، همچنین دامنه دمای سطحی شهر (۲۴ درجه سانتی‌گراد) نسبت به ماه قبل ۲ درجه کاهش دارد؛ از این‌رو، از اوایل دهۀ دوم خرداد، دمای سطحی شهر افزایش یافته و گرما به دلیل تابش عمودتر خورشید بیشتر و به طور طبیعی تابستان شهر نشینان آغاز می‌شود. این تغییر سریع (شیب تند) دمای

محدوده‌های ترمیナル، فرودگاه، راه‌آهن، اطراف بزرگراه امام علی و کمربندی همت، ششصد دستگاه و باغ آستان قدس، محدوده‌ای از دانشگاه فردوسی و باغ ملک آباد، شرکت برق خراسان و زمین‌های بایر و خالی در داخل شهر، بالاترین دمای سطحی را دارند. در این ماه نیز باغات و فضاهای سبز کمترین دمای سطحی را تجربه می‌کنند.

جدول ۲. دمای سطحی شهر در ماه‌های مختلف

دما	نماد	حداکثر	حداقل	متوسط	دامنه
آوریل	a	۴۲/۵	۱۴/۷	۲۸/۶	۲۷/۸
می	b	۴۲/۱	۱۵/۶	۲۸/۸	۲۶/۵
ژوئن	c	۴۸/۴	۲۴	۳۶/۲	۲۴/۴
ژوئیه	d	۵۰/۴	۳۲/۴	۴۱/۴	۱۸
اوت	e	۵۳/۳	۳۱/۶	۴۲/۳	۲۱/۷
سپتامبر	f	۴۷/۶	۲۶/۵	۳۷	۲۱/۱
اکتبر	g	۲۳/۹	۹/۳	۱۶/۶	۱۴/۶
نوامبر	h	۲۸/۳	۸/۹	۱۸/۶	۱۹/۴
دسامبر	i	۲۱	۱/۹	۱۱/۵	۱۹/۱
فوریه	j	۲۱/۹	-۹/۸	۶	۱۵/۸
مارس	k	۲۷	۶	۱۶/۵	۲۱

(منبع: نویسندهان، ۱۳۹۵)



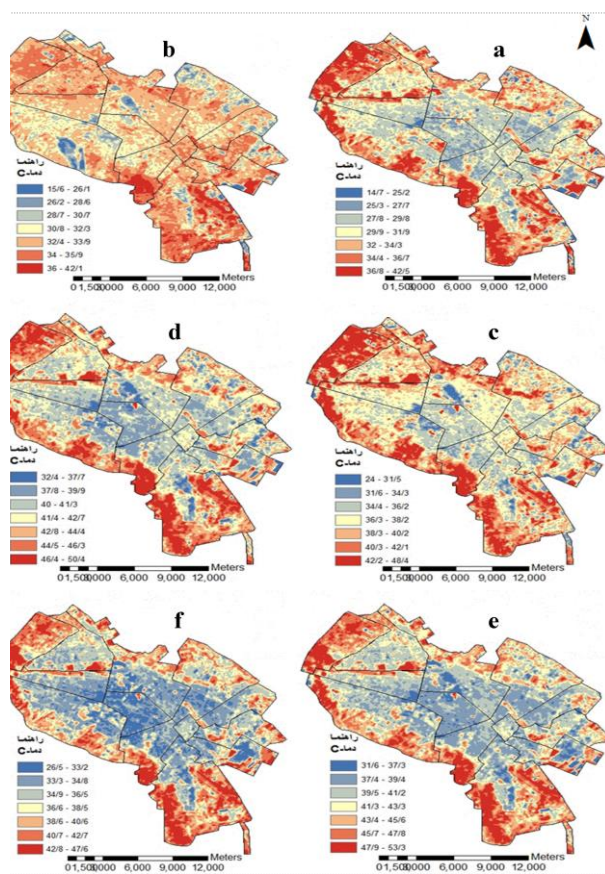
شکل ۳. تغییرات ویژگی‌های دمای سطحی شهر مشهد در ماه‌های مختلف (جدول ۲)

(منبع: نویسندهان، ۱۳۹۵)

از زیابی تغییرات فضایی دمای سطحی کلان‌شهر مشهد

راه‌آهن، ششصد دستگاه، محدوده اطراف بزرگراه همت در منطقه ۵، کارخانه قند آبکوه و زمین آستان قدس در جنوب آن و زمین‌های بایر در شرق بولوار هنرور، بالاترین دمای سطحی را تجربه می‌کنند. دمای سطحی شهر مشهد در ماه اوت (مرداد ماه) (شکل e، ۴) بین ۵۳-۳۲ درجه سانتی‌گراد و به ترتیب متوسط و دامنه دمای سطحی ۴۲ و ۲۲ درجه سانتی‌گراد است. بالاترین دما در طول سال، در این ماه اتفاق می‌افتد. از نظر ویژگی‌های دمایی، این ماه مشابه ماه قبل (ژوئیه) بوده و حداقل دما در این ماه نسبت به ماه ژوئیه تقاضای نداشته، ولی حداکثر دما ۲ درجه و دامنه دما نسبت به ماه قبل ۴ درجه سانتی‌گراد افزایش نشان می‌دهد. نواحی داخلی شهر مشابه ماه ژوئیه دمای بین ۴۱-۳۲ درجه دارند. در این ماه نیز مشابه ماه قبل محدوده‌های جنوبی شهر مشرف به دامنه‌های ارتفاعات و غرب شهر بیشترین دما را تجربه می‌کنند. همچنین در این ماه محدوده‌های که در ماه ژوئیه دمای سطحی را بالا داشتند در این ماه نیز بالاترین دمای سطحی را داشته و جزایر دمایی شهر را تشکیل می‌دهند و محدوده‌هایی در داخل شهر از جمله باغات، پارک و فضاهای سبز، پایین ترین دمای سپتامبر (شهریور) (شکل f، ۴) دمای سطحی شهر بین ۴۸-۲۷ درجه سانتی‌گراد و نسبت به ماه قبل کاهش نشان می‌دهد، همچنین متوسط و دامنه دما به ترتیب ۳۷ و ۲۱ درجه است. در این ماه روند رو به افزایشی دما در دمای حداقل، حداکثر، متوسط به جز دامنه دما، تغییر کرده و کاهش یافته، هر چند این با تغییر دمای هوا در اواسط شهریور مشهود است. دمای سطحی نواحی داخلی شهر در این ماه بین ۳۷-۲۷ درجه است، که حداقل و حداکثر دمای داخل شهر نسبت به ماه قبل به ترتیب ۵ و ۴ درجه کاهش نشان می‌دهد و به طور طبیعی نشانه آغاز فصل سرد است. در این ماه نیز محدوده حاشیه شهر از جنوب تا غرب شهر مشرف به دامنه‌ها، بالاترین دما بین ۳۹ تا ۴۸ درجه را تجربه می‌کنند که نسبت به دمای ماه آگوست ۴-۵ درجه کاهش نشانه مشاهده می‌شود و در داخل شهر نیز

است و متوسط و دامنه دما به ترتیب ۱۹ و ۱۹ درجه است. چنانکه حداقل دما بین ماه نوامبر و اکتبر تغییری نداشت، اما به ترتیب حداکثر، متوسط و دامنه دما ۲، ۴ و ۴ درجه سانتی گراد افزایش داشته است که با توجه به روند کاهشی در این فصل، این افزایش به دلیل وجود سیستم‌های گرم انتقالی (جهه گرم سیکلون و یا موج گرما) به شهر است. در این ماه عمدۀ نواحی داخل شهر دمای ۲۰-۹ درجه سانتی گراد را تجربه کرده و با وجود کاهش پوشش گیاهی و حجم توده سبز باغات و فضاهای سبز نیز دمای بالا بین ۱۸-۲۳ درجه و جزء مناطق گرم داخل شهر می‌باشد. در این ماه نیز محدوده‌هایی با دمای بالا علاوه بر حواشی جنوبی تا غربی شهر، محدوده‌هایی است که در ماه‌های دیگر، دمای سطحی بالا داشته است، هرچند در این ماه این محدودها افزایش نسبی دارند. در ماه دسامبر (آذر) (شکل ۴، a) کاهش دمای سطحی شهر مشاهده می‌شود و شهر دمای بین ۲-۲۱ درجه سانتی گراد دارد و متوسط و دامنه دما به ترتیب ۱۲ و ۱۹ درجه و دمای سطحی شهر نسبت به ماه‌های قبل روند کاهشی دارد. نواحی داخلی شهر در طبقه دمایی ۱۰-۲ درجه قرار دارند که نسبت به ماه قبل به ترتیب ۷ تا ۱۰ درجه کاهش دما را تجربه می‌کنند. همچنین باغات، فضاهای سبز و زمین‌های کشاورزی با نبود سبزینه و پوشش گیاهی دمای بالا بین ۱۰-۲۱ درجه دارند، هرچند بوستان‌های جنگلی کاج در ورودی جنوب شرقی، دمای کمتر از ۸ درجه را تجربه می‌کنند و این تفاوت دمای فصل سرد در دو پوشش خزان‌دار (توت و سپیدار) و برگ سوزنی همیشه سبز (کاج) را نشان می‌دهد. همچنین علاوه بر حاشیه جنوبی تا غربی شهر، محدوده‌هایی از جمله فرودگاه، راه‌آهن، اطراف بولوار امام علی و همت، زمین‌های بایر و شهرداری منطقه ۸ بالاترین دماهای مشابه باغات را تجربه می‌کنند. در ماه فوریه (بهمن ماه) (شکل ۴، j) دامنه دما بین ۱۰-۲۱ درجه سانتی گراد بوده و به ترتیب متوسط و دامنه دما ۶ و ۱۵/۸ درجه می‌باشند. پایین‌ترین دمای شهر در این ماه است و دامنه دما نسبت به ماه قبل، ۳



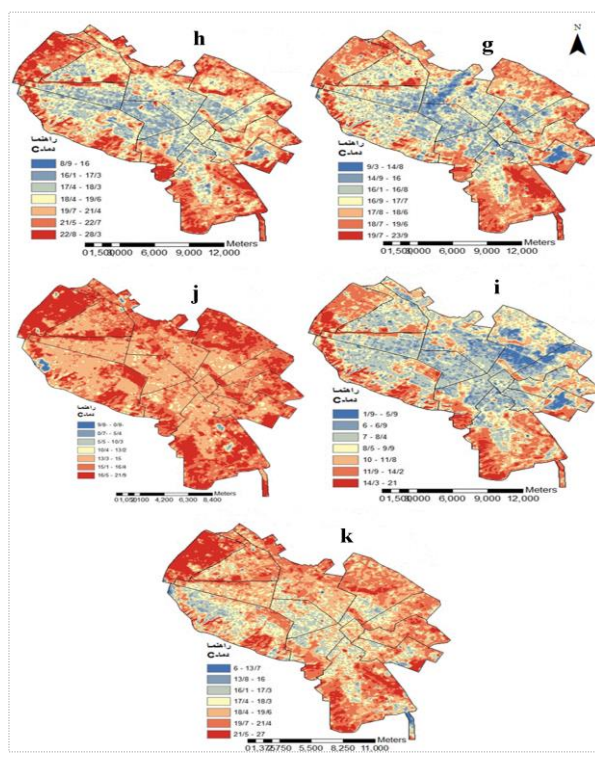
شکل ۴. پراکندگی دما در ماه‌های مختلف

(منبع: نویسندهان، ۱۳۹۵)

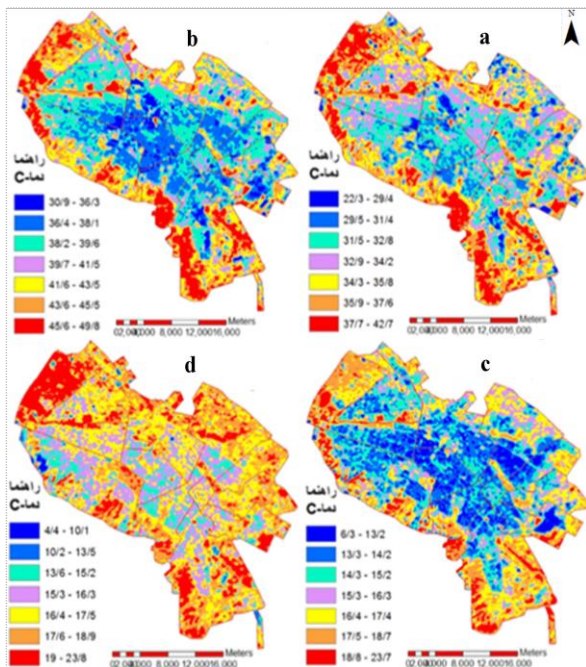
در ماه اکتبر (شکل ۴، g) شهر مشهد دمای سطحی بین ۹-۲۴ درجه سانتی گراد دارد، چنانکه حداقل دما نسبت به ماه دسامبر به ترتیب ۲۴ و ۱۸ درجه سانتی گراد کاهش نشان می‌دهد. همچنین متوسط و دامنه دما به ترتیب ۱۷ و ۱۵ درجه و افت دما به ترتیب ۲۰ و ۶ درجه‌ای نسبت به ماه قبل می‌باشد. این تغییر شدید در دمای سطحی نشان‌دهنده تغییر فصل گرما به سرماست که این با کاهش تابش، طول روز، ساعت آفتابی و تغییر زاویه تابش خورشید در پاییز، جذب کاهش می‌یابد؛ بنابراین نواحی داخلی نیز دمای بین ۹-۱۸ درجه‌ای را تجربه می‌کنند که باغات نیز در همین محدوده دمایی قرار دارند. در این ماه نیز مشابه ماه‌های قبل حواشی شهر، فرودگاه، ترمینال، راه‌آهن و اطراف دو بزرگراه (امام علی و همت) و زمین‌های بایر و خالی بیشترین دمای سطحی را دارند. در ماه نوامبر (آبان) (شکل ۴، h) دمای سطحی در کل شهر بین ۲۸-۹ درجه سانتی گراد

به طور کلی، شهر مشهد در ماه اوت، بالاترین مقدار دما و در ماه فوریه کمترین مقدار دمای سطحی را تجربه می‌کند. همچنین نقش عناصر جوئی در افزایش دمای سطحی زمین در این بررسی ماهانه آشکار شد که افزایش دما و برقراری حالت پایدار در روزهای مورد مطالعه (نمونه ماه نوامبر) نظم و روند تغییرات دمای شهر را تغییر می‌دهد. حواشی غربی-جنوب‌غرب و جنوبی شهر مشهد همچنین کاربری‌هایی همچون فروودگاه-ترمینال و راه آهن و در فصل‌های فاقد پوشش گیاهی باغات و زمین‌های کشاورزی از بالاترین دماها در شهر مشهد برخوردار می‌باشند. پارک‌ها و مناطق دارای پوشش گیاهی در داخل شهر نسبت به حومه در همه ماه‌ها کمترین دما را دارند (شکل ۴). همچنین توزیع فضایی و زمانی دمای شهر در مقیاس فصلی نشان داد (جدول ۳، شکل ۵ و ۶)، غالب مناطق داخلی شهر دمای سطحی بین ۴۰-۳۱ درجه سانتی گراد داشته و از داخل به سمت حاشیه شهر دمای سطحی افزایش دارد. بیشترین افزایش دما در شمال‌غرب-جنوب و جنوب شرق شهر شامل منطقه ۱۲، قسمت هایی از مناطق ۸ و منطقه ۹ می‌باشند. بخش شمالی بولوار امام علی، راه آهن، ششصد دستگاه، جنوب شهر مشرف به ارتفاعات، قسمت‌هایی از زمین‌های کشاورزی منطقه ۲، ۳، ۴ و ۵ بیشینه دمای سطحی و بوستان‌ها، باغات اطراف میدان فردوسی و پارک ملت، پارک جنگلی طرق با حداقل دمای سطحی ۳۱ درجه سانتی گراد) در فصل گرم سال (شکل ۶، a)، معتدل می‌باشند. در کل شهر مشهد در فصل پاییز (شکل ۶، c) تفاوت دمای سطحی کاهش دارد و دما بین ۲۴-۶ درجه سانتی گراد و دامنه تغییرات دما ۱۸ درجه سانتی گراد است. توزیع فضایی حداقل دمای سطحی در مناطق داخلی شهر بین ۱۵-۶ درجه سانتی گراد بوده که شامل زمین‌ها و باغات شهر، باغ امام رضا، فضاهای مسکونی، پارک ملت و پارک جنگلی طرق می‌باشند. در این فصل، مناطق با دمای سطحی بالا شامل بولوار امام علی، منطقه ۱۲ شهرداری مشهد، منطقه ۷ (فروودگاه)، راه آهن، ترمینال و زمین‌های

درجه کاهش دارد. در این ماه مناطق داخلی شهر دمای بین ۱۰-۱۵ درجه و بالاترین دمای سطحی در حاشیه شمالی شهر از منطقه ۶ تا ۱۲ و محدوده‌های با جزیره حرارتی در ماه‌های قیل و در باغات از جمله ملک آباد، امام رضا و بخش‌های عمده‌ای از شهر مشاهده شد. این محدوده‌ها، دمای بین ۱۵-۲۲ درجه دارند. پایین ترین دمای سطحی در نقاطی از فروودگاه، جنوب منطقه ۹ و شمال غربی منطقه ۲ مشاهده شد. در ماه مارس (اسفند) (شکل ۴، K) دمای سطحی شهر بین ۶-۲۷ درجه و متوسط و دامنه دما به ترتیب ۱۶/۵-۲۱ درجه سانتی گراد بود و این نشان از افزایش دمای سطحی در شهر است. نواحی داخلی دمای بین ۶-۲۰ درجه و باغات و زمین‌های کشاورزی دمای سطحی بالای ۲۰ درجه دارند. همچنین فروودگاه، ترمینال، راه آهن و نواحی حاشیه شهر به خصوص مناطق ۶ تا ۱۲ شهری در اطراف شهر، بالاترین دمای سطحی، ۲۰-۲۷ درجه و مناطق با دمای پایین در این ماه منطقه ۱، مناطق اطراف ثامن و منطقه ۹ با دمای ۶-۱۸ درجه سانتی گراد می‌باشند.



ادامه شکل ۴



شکل ۶. پراکندگی دمای سطحی شهر مشهد در فصول مختلف

(منبع: نویسندهان، ۱۳۹۵)

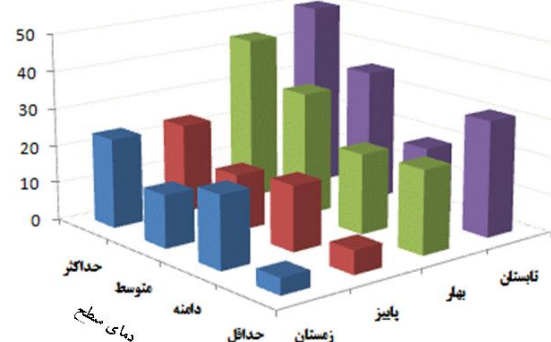
در مقیاس فصلی در طول سال به خصوص در فصول بهار، تابستان و پاییز بخش غالبي از مناطق داخلی شهر دمای متوسط به پایین را تجربه می کنند، هرچند در داخل شهر محدوده کمربند امام علی، ششصد دستگاه، راه آهن، فرودگاه، میدان های بزرگ شهر و مناطق با کاربری زمین خالی در داخل شهر و مناطق حاشیه شهر به خصوص منطقه ۱۲، جنوب مناطق ۷، ۸ و ۹ بالاترین دمای سطحی را دارند. در فصل زمستان با وجود کاهش پوشش گیاهی بخش عمده شهر، دمای سطحی بالا و یکنواخت تری داشته و باغات داخل شهر نیز به دلیل نبود پوشش گیاهی دمای بالا را نشان می دهند. در این فصل نیز بیشینه دما مشابه فصول قبل به علاوه باغات می باشند. به طور کلی توزیع محدوده هایی با دمای سطحی متفاوت در کل سال نشان داد (شکل ۷)، متوسط دمای سطحی سالانه شهر مشهد بین ۱۸-۳۵ درجه سانتی گراد است. چنانکه بخش غالب محدوده داخلی شهر دمای بین ۱۸-۲۷ درجه سانتی گراد را تجربه کرده و مناطق حاشیه شهر دمای سطحی بالای بین ۲۸-۳۵ درجه سانتی گراد دارند؛ بنابراین در مقیاس سالانه، الگوی فضایی دمای

کشاورزی واقع در شمال شرقی، جنوب و جنوب شرق شهر، جنوب باغ ملک آباد و دانشگاه فردوسی در این فصل دمای بالا را تجربه می کنند. بیشتر نواحی شهر به خصوص بخش های داخلی در دامنه دمای خنک واقع شده و شدت و گستره بخش های دارای بیشینه دما، کاهش دارد. در فصل زمستان (شکل ۶، d)، دامنه توزیع دمای سطحی شهر کاهش داشته و دما بین ۴-۲۴ درجه سانتی گراد در کل شهر و دامنه تغییرات دمای سطحی، ۲۰ درجه سانتی گراد است. در این فصل بیشتر نواحی شهر در محدوده دماهای بالا با دمای ۲۴-۱۶ درجه قرار داشته و محدوده کوچکی از مناطق مسکونی داخل شهر دمای کمتر از ۱۶ درجه سانتی گراد را تجربه می کنند. چنانکه محدوده شمالی و شمال شرقی شهر، منطقه ۱۲، بولوار امام علی، باغ ملک آباد، منطقه ۷، فرودگاه، راه آهن، ترمینال، زمین های کشاورزی اطراف میدان فردوسی، زمین بایر واقع در منطقه ۳ شهرداری، فضاهای باز در منطقه ۶ در دامنه دمای بین ۲۴-۱۸ درجه سانتی گراد قرار دارند. در این فصل با نبود پوشش گیاهی در شهر، حتی فضاهای سبز شهری در دامنه دمای ۱۶-۱۴ درجه قرار گرفته که در محدوده نواحی با دمای نسبتاً بالا جای دارند.

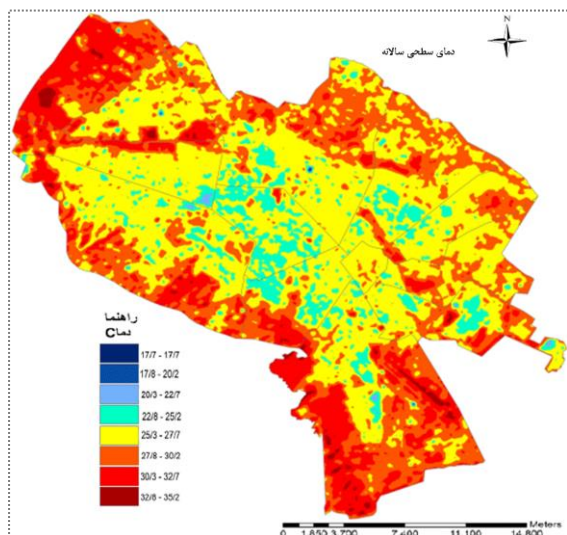
جدول ۳. تغییرات دمای سطحی در طول سال

زمستان	پاییز	تابستان	بهار	دمای سطح
۲۳/۸	۲۳/۷	۴۹/۸	۴۳/۷	حداکثر
۴/۴	۶/۳	۳۰/۹	۲۲/۳	حداقل
۱۴/۱	۱۵	۳۵/۴	۳۳	متوسط
۱۹/۴	۱۷/۴	۱۸/۹	۲۱/۴	دامنه

(منبع: نویسندهان، ۱۳۹۵)



شکل ۵. تغییرات ویژگی های دمای سطحی در فصول سال www.SID.ir



شکل ۷. دمای سطحی سالانه شهر مشهد

(منبع: نویسندها، ۱۳۹۵)

رونده تغییرات درجه حرارت سطحی شهر مشهد در ۱۳ منطقه شهری با کاربری متفاوت (شکل ۶) نشان داد، گرمترین منطقه شهر مشهد در طی فصول مختلف، منطقه دوازده است. در این منطقه بخش غالب کاربری اراضی آن زمین های بایر، فضاهای خالی، تأسیسات تجاری و شهری، زمین های کشاورزی، نمایشگاه و فضاهای خالی می باشند (شکل ۲)؛ از این رو کاربری های مذکور همان طور که در بخش قبل مشاهده شد، در همه نقاط شهری بیشترین دمای سطحی را به دلیل جذب بالای تابش سطحی دارند. همچنین منطقه ۱ شهری، حداقل دمای سطحی در طی فصول مختلف را دارد (جدول ۴). قدیمی ترین منطقه شهری مشهد شامل محله های سناباد، سعدآباد و آبکوه بوده که کاربری غالب آن مناطق مسکونی ویلایی و مختلط فعالیتی است و بخشی نیز فضاهای سبز درمانی و ورزشی است. مناطق مسکونی در این منطقه با تراکم پایین و عمدها خانه های حیات دار با پوشش درختی انبوه بوده و درختان با چند دهه قدمت و پوشش مناسب در این منطقه مشاهده شد. همچنین کال چهل بازه با کاربری درخت و فضای سبز تفریحی شهرداری در این منطقه وجود دارد؛ از این رو این ویژگی ها موجب شده تا این منطقه با قرارگیری در مرکز شهر، پایین ترین دمایا (خنک ترین منطقه) را در

سطحی در شهر مشهد، به جز محدوده های کوچک در داخل شهر، از مرکز به بیرون، افزایش شدید دما مشاهده می شود. چنانکه مناطق حاشیه شهر شامل کل منطقه ۱۲، جنوب مناطق ۹، ۸، ۷، بخش غالبه از منطقه ۶ و شمال منطقه ۲ و زمین های کشاورزی و بایر در حاشیه شمال و شمال شرقی شهر بیشترین دمای سطحی را دارند. علاوه بر این در داخل شهر محدوده هایی از جمله حاشیه کمر بندی امام علی، شهر داری منطقه ۱۰، صداوسیما، اطراف کال چهل بازه و زمین های بایر اطراف، کارخانه قند آبکوه تا شرق بلوار جانباز، فضای باز ششصد دستگاه (نمایشگاه ماشین آلات)، هتل هما، شرکت ملی گاز و اداره اوقاف آبکوه، فضای خالی شرق بولوار هنرور، راه آهن تا نیروگاه برق حرارتی و مصلی، بخش های جنوبی باغ ملک آباد، بخش هایی از دانشگاه فردوسی تا بولوار پیروزی، شرکت برق خراسان، میدان پژوهش، بخش هایی از منطقه ثامن، کارخانه نخریسی تا بلوار کوشش و ترمینال مسافربری، میدان قطار شهری تا فرودگاه، کارخانه آسفالت و محدوده های کوچک تر در داخل شهر دارای دمای سطحی بالا می باشند. این محدوده ها جزیره های کوچک گرمایی در داخل شهر مشهد را موجب می شوند. از طرفی محدوده های با دمای سطحی پایین عمدها در منطقه ۱، شمال منطقه ۸، منطقه ۳ در شمال راه آهن از محله سمرقند تا خیر آباد، بخش جنوب غربی منطقه ۲، بخش هایی از منطقه ۵ و ۶ با کاربری فضای سبز و بوستان جنگلی، پارک ملت، ابتدای باهنه تا لاله، محدوده میدان مادر و محدوده هایی کوچک تر با کاربری پارک و بوستان در داخل شهر پایین ترین دمای سطحی را تجربه می کنند.

مشهد شامل فرودگاه، ترمینال و طبقه ۶ با کاربری زمین بایر و ارتفاعات به طور پراکنده، در طول سال حداقل دما را دارند. همچنین طبقه ۷ با کاربری کشاورزی و باغات در ماه سرد سال با پوشش گیاهی خزان دار و کاهش حجم توده سبز در ماه فوریه و مارس جزء گروه حداقل دمای سطحی قرار می‌گیرند؛ بنابراین کاربری‌های کشاورزی و باغات با نبود پوشش گیاهی و پوشش خاک شبیه کابری زمین خالی با تابش جذبی بالا می‌باشند. همچنین طبقه ۳ با کاربری ترمینال و فرودگاه در دو ماه سپتامبر و اکتبر (شهریور و مهر)، از حداقل میانگین دما برخوردارند. کابری‌های ارتفاعات اطراف شهر و زمین‌های فاقد کاربری شهری و پوشش گیاهی (طبقه ۶) در طول سال، جزء مناطق با بالاترین دمای سطحی می‌باشند. چنانکه با توجه به جهت قرارگیری ارتفاعات جنوب شهر (شمال-شمال‌غربی، جنوب‌شرقی) به خصوص در ماه‌های گرم و پاییز و پوشش سنگی و تیره با زمین‌های خالی، اشعة تابش خورشید بر این مناطق عمود است و با طلوع خورشید این محدوده با ارتفاع بیشتر تابش زودتر و بیشتری را جذب می‌کنند. چنانکه جدول (۵) نشان می‌دهد، این طبقه در دو ماه ژوئیه (تیر) و اوت (مرداد) از فصل تابستان، آوریل (فروردين) و ژوئن (خرداد) از فصل بهار، نوامبر (آبان) و دسامبر (آذر) از فصل پاییز و مارس (اسفند) بیشترین دمای سطحی را دارند. حداقل دماهای سطحی در ماه‌های مختلف فعالیتی (طبقه ۱) و کاربری‌های مسکونی و مختلط فعالیتی (طبقه ۲) فضای سبز و درمانی (طبقه ۲) مشاهده شد. همچنین متوسط حداقل دما در طبقه ۷ با کاربری کشاورزی و باغات داخل شهر نیز فقط در ماه مه در گروه با دمای حداقل قرارداشت و این نشان دهنده تغییر و کاهش پوشش گیاهی و تغییر کاربری در محدوده‌هایی مانند باغات آستان قدس، ملک آباد و غیره در داخل شهر است. طبقه یک که در برگیرنده کاربری‌های مسکونی و مختلط فعالیتی است در فصل‌های بهار و تابستان-آوریل (مهر) از پاییز و مارس (اسفند) از زمستان، کمترین دمای سطحی را دارا بوده و همچنین طبقه ۲

طول سال تجربه کند. در مرتبه بعد، منطقه ثامن در فصل زمستان و پاییز و منطقه ۹ در فصل زمستان در همه فصول حداقل دمای سطحی را تجربه می‌کنند. بیشترین تفاوت دمایی بین سردترین و گرم‌ترین منطقه در فصل تابستان مشاهده و فصل تابستان از بیشترین نوسان دمایی در شهر مشهد برخوردار است. کم‌ترین تفاوت دمایی بین سردترین و گرم‌ترین منطقه در فصل زمستان مشاهده شد. منطقه ۱۲ مشهد در فصل تابستان از ماکسیمم دما ۴۹ درجه سانتی گراد و در فصل پاییز دمای سطحی آن ۲۱ درجه سانتی گراد است. این اختلاف دما به دلیل وجود زمین‌های باز و فاقد کاربری که در تابستان به دلیل شدت و مدت بیشتر تابش خورشید از دمای سطحی بیشتر و پاییز کمترین دمای سطحی را دارند. منطقه ۱ مشهد نیز به دلیل اینکه بالغ بر ۷۴ درصد از مساحت آن توسط کاربری‌های طبقه یک و دو و پوشش درختی بالا اشغال شده (کاربری‌هایی که در طی تمام سال از حداقل دما برخوردار بوده‌اند)، طبیعی است سردترین منطقه محسوب شود و تفاوت دمایی فصول گرم و سرد آن به دلیل تفاوت در شدت و مدت تابش خورشید است.

جدول ۴. مناطق حداقل دمای سطحی شهر مشهد

فصل	منطقه	دمای سطحی		شهری
		حداکثر	حداقل	
بهار	یک	۳۹	۲۷	۳۲
تابستان	یک	۴۷	۳۳	۳۷
پاییز	یک	۱۹	۱۱	۱۴
	ثامن	۱۶	۱۱	۱۴
زمستان	یک	۲۰	۱۳	۱۶
	نه	۲۳	۴	۱۶
ثامن	ثامن	۱۸	۱۴	۱۶

(منبع: نویسندهان، ۱۳۹۵)

همچنین دمای سطحی هر کدام از کاربری‌ها در طول سال و اینکه کدام کاربری‌ها با جذب بالاتر تابش در درون شهر، جزایر حرارتی داخل شهر را موجب می‌شود (جدول ۵) نشان داد، طبقه ۳ کاربری اراضی شهر

ارتباط با دمای متوسط کاربری‌ها در طی سال (جدول ۶) نشان داد، کاربری فضای سبز، بوسنان، پارک و درمانی (کاربری ۱) و مسکونی و مختلط فعالیتی (کاربری ۲) حداقل دمای سطحی و کاربری‌های فرودگاه، ترمینال، حمل و نقل شهری (کاربری ۳) و ارتفاعات و زمین‌های بایر (کاربری ۴) بالاترین دمای سطحی را دارند. همچنین پایین ترین دامنه دمای سطحی در دو کاربری شهری شامل کاربری فضای سبز، بوسنان، پارک و درمانی (کاربری ۱) با تفاوت دمایی ۳۲ درجه سانتی گراد (حداکثر ۴۱ و حداقل ۹ درجه) و کاربری کشاورزی و باغات داخل شهر با دامنه ۳۲ درجه سانتی گراد (حداکثر ۴۳ و حداقل ۱۱ درجه) است و نشان می‌دهد این دو کاربری شهری از نوسان دمایی پایینی در طول سال برخوردارند و کاربری مسکونی و مختلط با پوشش‌های فیزیکی متفاوت (کاربری ۲) با دمای پایین تر در طی سال، دامنه و نوسان بیشتری (۳۴ درجه) نسبت به کاربری باغات و کشاورزی دارد و از نظر دامنه دمایی با کاربری ارتفاعات و زمین‌های بایر (کاربری ۴) مشابه می‌باشند. همچنین بالاترین دامنه دمایی در کاربری حمل و نقل شهری، فرودگاه و ترمینال مسافربری با نوسان ۳۵ درجه سانتی گراد (حداکثر ۴۶ و حداقل ۱۱ درجه) مشاهده شد.

جدول ۶. میانگین ماهانه و دامنه دمای سطحی

کاربری شهری

دامنه	۷	۶	۵	۴	۳	۲	۱	کاربری
۶	۳۳	۳۵	۳۲	۳۳	۲۵	۲۹	۲۹	آوریل
۴	۳۱	۳۲	۳۳	۳۴	۲۵	۳۲	۳۱	مه
۶	۳۷	۴۱	۳۸	۳۹	۴۰	۳۷	۳۵	ژوئن
۴	۴۲	۴۵	۴۲	۴۳	۴۴	۴۱	۴۱	ژوئیه
۷	۴۳	۴۶	۴۲	۴۴	۴۶	۴۰	۳۹	اوت
۶	۳۸	۴۰	۳۷	۳۹	۴۱	۳۵	۳۵	سپتامبر
۱	۱۸	۱۸	۱۸	۱۸	۱۹	۱۷	۱۷	اکتبر
۴	۲۱	۲۲	۲۰	۲۱	۲۱	۱۸	۱۹	نوامبر
۵	۱۱	۱۲	۹	۱۱	۱۱	۷	۹	دسامبر
۳	۱۷	۱۶	۱۵	۱۶	۱۵	۱۴	۱۵	فوریه
۲	۲۰	۲۰	۱۹	۱۹	۲۰	۱۸	۱۸	مارس
	۲۲	۳۴	۳۳	۳۳	۲۵	۳۴	۳۲	دامنه

(منبع: نویسندها، ۱۳۹۵)

با کاربری‌های تفریحی-توریستی و درمانی در فصل پاییز، بهمن، اسفند، فروردین، تیر و شهریور نیز دمای سطحی پایین دارند؛ بنابراین کاربری‌های فضای سبز، پارک، بوسنان و درمان (طبقه ۱) در نیمة گرم سال از کمترین دما و کاربری مسکونی و مختلط فعالیتی (طبقه ۲) در نیمة سرد سال کمترین دمای سطحی را تجربه می‌کنند.

جدول ۵. حداقل و حداقل میانگین دمای کاربری‌های شهری

منطقه شهری	ماه	منطقه شهری		ماه
		حداکثر	حداقل	
سپتامبر	۲-۱	اکتبر	نومبر	۶-۳
	۳			۲-۱
دسامبر	۲	فوریه	۶	۱
ماه	۷-۶-۳	مارس	۶-۳	۱

(منبع: نویسندها، ۱۳۹۵)

تغییرات میانگین دما در ماه‌های مختلف در هر طبقه نشان داد (جدول ۶)، کاربری‌های مختلف شهری مشهد در ماه اوت (مرداد) و ژوئیه (تیر) از حداکثر میانگین دمای سطحی، چنانکه همه کاربری‌های شهری در این دو ماه از فصل تابستان دمای بالای ۴۰ درجه سانتی گراد داشته و به عبارتی تابستان واقعی شهر مشهد در این دو ماه است. همچنین در ماه اوت، بیشترین دامنه دمای سطحی در طی ماه‌های مختلف سال در بین کاربری‌های شهری مشاهده شده، چنانکه بین حداقل و حداکثر دمای سطحی کاربری‌ها در این ماه ۷ درجه سانتی گراد تفاوت دمایی وجود دارد و کاربری ۱ با ۳۹ درجه کمترین و کاربری ۳ و ۶ با ۴۶ درجه سانتی گراد گرمترین پوشش‌های فیزیکی شهر مشهد می‌باشند. حداقل دمای سطحی کاربری‌های شهری در ماه دسامبر با حداقل دمای ۷ درجه و حداکثر ۱۲ درجه سانتی گراد و پایین ترین دامنه دمایی در ماه آوریل با ۱ درجه سانتی گراد مشاهده شد که نشان می‌دهد در این ماه تمام کاربری‌ها و پوشش‌های فیزیکی سطحی مشابه را تجربه می‌کنند. در

۷، ۸ و فضای خالی و بایر منطقه ۵ و ۶) و زمین های خالی آستان قدس رضوی در داخل شهر، کاربری های صنعتی شامل کارخانه قند، کارخانه آسفالت، نیروگاه حرارتی، کارخانه نخریسی، شرکت نفت و گاز، شرکت برق خراسان و کاربری حمل و نقل شامل راه آهن، فرودگاه و ترمینال و بزرگراه های درون شهری شامل امام علی و همت، بیشترین دمای سطحی را داشته و محدوده های کوچک جزیره گرمایی شهر مشهد را تشکیل می دهند که این کاربری ها در دیگر شهر های ایران از جمله شهر تهران (ساسان پور، ۱۳۹۲: ۲۵۶؛ ۱۳۹۰: ۶۵) صادقی نیا، ۱۳۹۱: ۱) و اهواز (معروف نژاد، ۱۳۹۰: ۶۵) نیز بیشترین دمای سطحی را دارند. در الگوی فضایی مشهد، در طول سال کمترین دمای سطحی را مناطق خزان، به دلیل اثر خنک کنندگی این پوشش های فیزیکی در ارتباط با تبخیر و تعرق (شکیبا و همکاران، ۱۳۸۸: ۳۹) دارند. در فصول سرد سال به دلیل تغییر پوشش فیزیکی سطح زمین در باغات و زمین های کشاورزی، جزایر حرارتی شهر بر روی این نواحی نیز کشیده می شوند. تغییرات زمانی دمای سطحی در طول سال شهر مشهد، در فصل پاییز و ماه آذر (دسامبر) سردترین و ماه مرداد (اوت) و تابستان گرمترین دمای سطحی بوده و بیشترین تفاوت دمایی (دامنه دما) شهر مشهد در فصل بهار است. این تفاوت دمایی مرکز و حومه شهر در بهار، بارش های همرفتی این فصل در شهر مشهد را موجب می شود. تغییرات حداقل و حداکثر دمای سطحی با روند سریعی از ماه مه (اردیبهشت) به ژوئن (خرداد) اتفاق می افتد که نشان از شروع تابستان در شهر دارد و در دو ماه ژوئیه (تیر) و اوت بالاترین دمای سطحی را شهر مشهد تجربه می کند. پایین ترین دمای سطحی در ماه دسامبر و فوریه و کمترین دامنه دمایی شهر مشهد در ماه اکتبر و فصل پاییز که نشان از دمای مشابه تمام کاربری های شهری در این فصل دارد. در شهر مشهد کاربری فضای سبز، پارک، بوستان و کاربری مسکونی و مختلط در طول سال پایین ترین دمای سطحی را دارند

بحث و نتیجه‌گیری

مدل الگوی فضایی دمای سطحی مشهد، افزایش دمای سطحی از مرکز به بیرون شهر در زمان گذر ماهواره لندست است؛ بنابراین مناطق حاشیه شهر با فضای خالی (فاقد کاربری) و کاهش پوشش گیاهی، پیش کوهای بینالود در جنوب و جنوب غربی شهر، افزایش شدید دمای سطحی را دارند. در حالی که مناطق مرکزی و قدیمی شهر با تراکم ساختمانی کمتر، حیات سبز و پوشش گیاهی بیشتر روند کاهشی دما را تجربه می کنند، از جمله منطقه یک شهری شامل سنباد، آبکوه، احمدآباد، ملکآباد، سعدآباد و کوهسنگی، بخش شمالی منطقه هشتم شهری شامل، ارگ، سراب، سرشور و محله هایی در جنوب منطقه ۳ و جنوب منطقه ۲ شهری می باشند. این الگوی فضایی بر عکس کلان شهرهای جهان با اقلیم مرطوب و موافق با شهرها در مناطق خشک و نیمه خشک است (اسکورو، ۱۳۹۱). ترکیب و ساختار در کلان شهرهای مناطق مرطوب در مرکز شهر ساختمان های با تراکم بالا و به حاشیه شهر باغ سرا و خانه های ویلایی و جنگل و درختزار ولی در مناطق خشک و نیمه خشک در مرکز شهر و مناطق سنتی شهر، خانه های ویلایی و حیاطدار که در گذشته در اطراف و مظهر منبع آبی، اغلب قنات ها، شکل گرفته و به حاشیه شهر بلند مرتبه سازی و ساختمان های مرتفع با نبود درخت و در حاشیه و بیرون شهر زمین های خشک و بایر مشهود است. این مناطق بیشینه دما در دیگر شهر ها، تهران (هاشمی و همکاران، ۱۳۹۲، ۸۱، ساسان پور و همکاران، ۱۳۹۲: ۲۵۶)، شیراز (احمدی و همکاران، ۱۳۹۱: ۵۵)، شانگهای (zahang et al, 2013: 121) نیز وجود دارد. همچنین روند کاهشی دمای سطحی، جزایر گرمایی، از مرکز به بیرون شهر، نشان از الگوی ناهمگن و غیر ساختاری بودن فرم شهرها و کاربری های مختلف در کلان شهرهای ایران و کلان شهر مشهد دارد؛ از این رو با این الگوی فضایی و ناهمگنی شهر مشهد علاوه بر افزایش دمای سطحی در حاشیه شهر، در داخل شهر نیز مطالعی با فضای باز (منطقه ۱۲، جنوب منطقه ۹،

داده‌های حرارتی و انعکاسی TM و ETM+ لندست، محیط‌شناسی، دوره ۳، شماره ۴۳، صفحه ۱۰۷-۱۲۰.

جویباری مقدم، یاسر؛ محمدآخوندزاده و محمدرضا سراجیان (۱۳۹۴)، ارائه یک الگوریتم مجزای نوین به منظور تخمین دمای سطحی از داده‌های ماهواره لندست، علوم و فنون نقشه‌برداری، دوره ۵، شماره ۱، صفحه ۲۱۵-۲۲۶.

حجازی زاده، زهرا؛ پرویز ضیاییان فیروزآبادی و علیرضا شیرخانی (۱۳۹۲)، مقایسه تخمین دمای سطح با استفاده از داده‌های باند حرارتی سنجنده‌های ماهواره‌ای در غرب استان تهران و قزوین، جغرافیا، دوره ۱۱، شماره ۳۸، صفحه ۳۳-۴۹.

دشتکیان، کاظم و محمد علی دهقانی تفتی (۱۳۸۶)، بررسی دمای سطح زمین در ارتباط با پوشش گیاهی و توسعه شهری با استفاده از سنجش از دور و سامانه‌های اطلاعات جغرافیایی در مناطق بیابانی (مطالعه موردی: منطقه یزد-اشکذر)، پژوهش و سازندگی، دوره ۲۰، شماره ۷۷، صفحه ۱۶۹-۱۷۹.

رمضانی، بهمن و سیده مریم دخت‌محمد (۱۳۸۹)، شناخت محدوده مکانی تشکیل جزیره گرمایی در شهر رشت، پژوهش و برنامه‌ریزی شهری، سال ۱، شماره ۱، صفحه ۴۹-۶۴.

سasan پور، فرزانه؛ پرویز ضیاییان فیروزآبادی و مریم بهادری (۱۳۹۲)، بررسی رابطه کاربری و پوشش اراضی و جزایر حرارتی شهر تهران، جغرافیا، دوره ۱۱، شماره ۳۹، صفحه ۲۵۶-۲۷۰.

شکیبا، علیرضا؛ پرویز ضیاییان فیروزآبادی؛ داود عشورلو و سودابه نامداری (۱۳۸۸)، تحلیل رابطه کاربری و پوشش اراضی و جزایر حرارتی شهر تهران، با استفاده از داده‌های + GIS، نشریه سنجش از دور و ETM ایران، دوره ۱، شماره ۱، صفحه ۳۹-۵۶.

صادقی‌نیا، علیرضا؛ بهلول علیجانی و پرویز ضیاییان فیروزآبادی (۱۳۹۱)، تحلیل فضایی-زمانی جزیره حرارتی کلان شهر تهران با استفاده از سنجش از دور و سیستم اطلاعات جغرافیایی، جغرافیا و مخاطرات محیطی، سال ۱، شماره ۴، صفحه ۱-۱۷.

عبداللهی، جلال؛ سید علی محمد چراغی و محمد حسن رحیمیان (۱۳۸۷)، مقایسه آثار زیستمحیطی تغییر کاربری اراضی بر تغییر پوشش گیاهی و دمای سطحی در مناطق شهری و غیرشهری با به کارگیری سنجش از دور، محیط‌شناسی، دوره ۳۴، شماره ۴۵، صفحه ۸۵-۹۶.

کاویانی، عباس؛ تیمور سهراوی و پیمان دانش‌کار آراسته (۱۳۹۲)، تخمین دمای سطح زمین با استفاده از شاخص اختلاف نرمال‌شده (NDVI) در تصاویر سنجنده‌های

از زیابی تغییرات فضایی دمای سطحی کلان شهر مشهد و پایین‌ترین دامنه دمایی را کاربری فضای سبز و باغات دارند و نشان می‌دهد در این دو کاربری تغییرات دمای سطحی در طول سال کم بوده و دمای معتدل و مناسب است. کاربری حمل و نقل و ارتفاعات و زمین بایر بالاترین دمای سطحی را در طول سال تجربه می‌کند. همچنین بالاترین و پایین‌ترین دامنه دمایی به ترتیب در ماه اکتبر (مهر) و اوت (مرداد) در شهر مشهد اتفاق می‌افتد. همچنین پدیده‌های اقلیمی و از جمله جبهه‌های گرم و امواج گرمایی در شهرها بر دمای سطحی در داخل شهرها و برداشت تصاویر ماهواره‌ای اثر می‌گذارند و روند دمای سطحی در طول سال را تغییر می‌دهند (نمونه، ماه نوامبر در این تحقیق). افزایش دمای سطحی شهر مشهد و گرم شدن شهر، تأثیرات منفی بر محیط طبیعی، افزایش مصرف انرژی و آب، کاهش فعالیت اقتصادی و کاهش سلامتی روحی و جسمی شهروندان را موجب می‌شود و ضروری است به منظور مدیریت ریسک و بحران این پدیده شهری، افزایش کاربری فضای سبز و پوشش گیاهی در داخل شهر و پوشش جنگلی به خصوص در ارتفاعات و زمین‌های بایر در حاشیه جنوبی شهر و بزرگراه‌ها برای کاهش جزایر حرارتی مناطق و محدوده‌های فاقد کاربری داخل و حاشیه شهر انجام شود. این یافته‌ها مرتبط با دمای سطحی شهر مشهد متأثر از شرایط فیزیکی سطح زمین و زاویه تابش در زمان گذر ماهواره است.

منابع

- احمدی، محمود؛ داود عشورلو و مهدی نارنگی‌فرد (۱۳۹۱)، تغییرات زمانی-مکانی الگوهای حرارتی و کاربری شهر شیراز با استفاده از داده‌های سنجنده TM & ETM+ دور و GIS ایران، دوره ۴، شماره ۴، صفحه ۵۵-۶۸.
- اسکورو، ژیل، (۱۳۹۱). اقلیم و شهر. ترجمه کاظم جاجرمی. انتشارات اندیشه‌های گوهربار تهران. چاپ دوم. تهران.
- امیری، رضا؛ عباس علی‌محمدی و سید کاظم علوی‌پناه (۱۳۸۶)، مطالعه تغییرپذیری فضایی-زمانی حرارت در ارتباط با کاربری/پوشش زمین در منطقه شهری تبریز با استفاده از www.SID.ir

جغرافیا و آمایش شهری- منطقه‌ای، سال هشتم، شماره ۲۷، تابستان ۱۳۹۷

Nduati, E.W., Mundia, Ch. N., Moses M. Ngigi,M. M., Kenduiwo, B.K (2013).A Remote Sensing – based approach to Evaluation of Trends and impacts of Land Surface changes in the Mara Ecosystem. Proceeding of global geospatial conference, Addis Ababa, Ethiopia, 4-8 November.

Omran, El.E (2012).Detection of land – use and surface temperature change at different resolutions. Journal of Geographic Information System 4: pp.189-203.

Sundara Kumar, K., Udaya Bhaskar, P., Padmakumari, K(2012).Estimation of Land Surface Temperature to Study Urban Heat Island Effect Using Landsat ETM+ Image. International Journal of Engineering Science and Technology 4: pp.771-778.

Zhang, H., Qi, Z.f., Ye, X.y., Cai, Y.B., Ma, W.C., Chen, M, n (2013). Analyses of Land use / Land cover Change, Population Shift, and effects on spatiotemporal patterns of urban heat islands in metropolitan Shanghai, China. Applied Geography 44: pp. 121-133.

مشتاق، ناهید؛ رضا جعفری و سعید سلطانی (۱۳۹۰)، بررسی تغییرات دمای سطحی و کاربری اراضی با استفاده از داده‌های سنجش از دور (مطالعه موردی: شهر اصفهان)، هفتمین همایش ملی علوم و مهندسی آبخیزداری، ۸-۷ اردیبهشت ۱۳۹۰.

معروف‌نژاد، عباس (۱۳۹۰)، تأثیر کاربری‌های شهری در ایجاد جزایر حرارتی، (مطالعه موردی: شهر اهواز)، آمایش محیط، دوره ۴، شماره ۱۴، صفحه ۶۵-۹۰.

موسوی بایگی، محمد؛ بتول اشرف؛ علیرضا فریدحسینی و آمنه میان‌آبادی (۱۳۹۱)، بررسی جزیره حرارتی شهر مشهد با استفاده از تصاویر ماهواره‌ای و نظریه فرکتال، جغرافیا و مخاطرات محیطی، دوره ۱، شماره ۱، صفحه ۳۵-۴۹.

هاشمی، سید محمود؛ سید‌کاظم علوی‌پناه و مرتضی دیناروندی (۱۳۹۲)، ارزیابی توزیع مکانی دمای سطح زمین در محیط زیست شهری با کاربرد سنجش از دور حرارتی، محیط‌شناسی، دوره ۳۹، شماره ۱، صفحه ۸۱-۹۲.

ونگ، تای چی و بلیندا یوئن. (۱۳۹۲). برنامه‌ریزی شهر اکولوژیک: سیاست‌ها، تجارب و طراحی. ترجمه محمدرحیم رهنما و الهه کریمی. انتشارات جهاد دانشگاهی مشهد. چاپ اول. مشهد.

Buyantuyev, A., Wu, J (2010). Urban Heat Island and landscape Heterogeneity: Linking Spatiotemporal Variation in Surface Temperatures to Land-Cover and Socioeconomic Patterns. J. Landscape Ecology 25: pp.17-33.

Li, Y.y., Zhang, H., Kainz, W (2012).Monitoring Patterns of Urban heat island of the fast – growing Shanghai metropolis, China: using time – series of Land sat TM/ETM+ data. International Journal of Applied Earth Observation and GeoInformation19: pp. 127-138.

Lilly Rose, A., Monsingh, D., Devadas (2009). Analysis of land surface temperature and land use/land cover types using remote sensing imagery – a case in Chennai city, India, The seventh international conference on urban climate, 29 June-3July 2009, Yokohama, Japan.

Malekpour, P. Taleai, M (2011). Modeling of Relationship between Land use /Cover and land Surface Temperature Using ASTER datasets. Journal of Environmental Studies 37:pp. 10-12.